

# 第八章 电磁波辐射

电磁场与电磁波



## 8.1 滞后位

- 矢量位和标量位满足的微分方程（达朗贝尔方程）为

$$\nabla^2 \mathbf{A} - \mu\varepsilon \frac{\partial^2 \mathbf{A}}{\partial t^2} = -\mu \mathbf{J}$$

$$\nabla^2 \Phi - \mu\varepsilon \frac{\partial^2 \Phi}{\partial t^2} = -\frac{\rho}{\varepsilon}$$

- 复数形式为

$$\nabla^2 \dot{\mathbf{A}} + k^2 \dot{\mathbf{A}} = -\mu \dot{\mathbf{J}}$$

$$\nabla^2 \dot{\Phi} + k^2 \dot{\Phi} = -\frac{\dot{\rho}}{\varepsilon}$$

其中  $k^2 = \omega^2 \mu\varepsilon$  。



利用在恒定电场中标量电位满足泊松方程的解，推理得到时变场中标量位、矢量位的解。

➤ 标量位的解为

$$\dot{\Phi} = \frac{1}{4\pi\epsilon} \int_{\tau'} \frac{\dot{\rho} e^{j\omega\left(t-\frac{r}{v}\right)}}{r} d\tau'$$

其中  $k = \omega/v$ 。

➤ 矢量位的解为

$$\dot{\mathbf{A}} = \frac{\mu}{4\pi} \int_{\tau'} \frac{\dot{\mathbf{J}} e^{j\omega\left(t-\frac{r}{v}\right)}}{r} d\tau'$$

➤ 对于线电流矢量位的解为

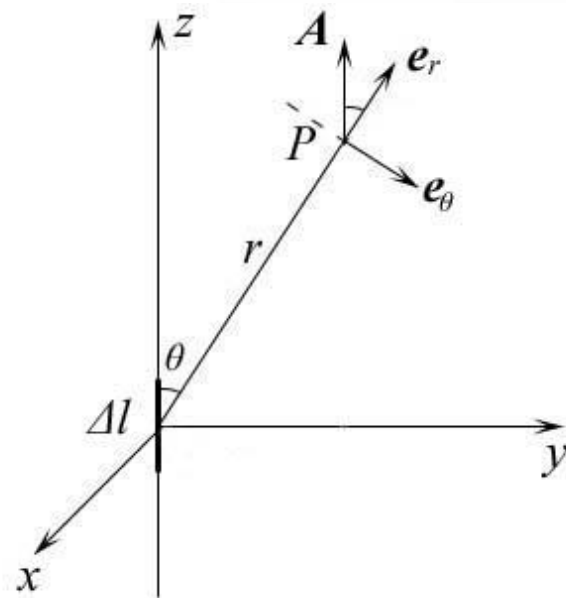
$$\dot{\mathbf{A}} = \frac{\mu}{4\pi} \int_{l'} \frac{\dot{\mathbf{I}} e^{j\omega\left(t-\frac{r}{v}\right)}}{r} dl'$$



## 8. 2 电偶极子天线的辐射

1. 电偶极子天线：一段长为  $\Delta l$  的载流导线，中心馈电，如图所示。假设电偶极子满足近似条件：

- 偶极子天线的长度  $\Delta l$  远远小于工作波长  $\lambda$ ，所以  $\Delta l$  上各点的电流可以看作是相等的；
- $\Delta l$  远远小于场点  $P$  到偶极子天线中心的距离  $r$ ，所以  $\Delta l$  上各点到  $P$  点的距离，可以看作是相等的。
- 实际的线状天线可看成是许多电偶极子天线的串联组合。



## 2. 电偶极子天线的辐射

### (1) 辐射场表达式

➤ 设偶极子天线上的电流为  $\dot{I}$ ，在空间产生的矢量位

$$\dot{\mathbf{A}} = \frac{\mu}{4\pi} \int_l \frac{\dot{I} e^{-jkr}}{r} d\mathbf{l}$$

➤ 利用偶极子天线的近似条件，求解上式可以求出矢量位  $\dot{\mathbf{A}}$ ，代入  $\dot{\mathbf{H}} = \frac{1}{\mu} \nabla \times \dot{\mathbf{A}}$

➤ 可得  $\dot{H}_r = 0$   
 $\dot{H}_\theta = 0$



$$\dot{H}_{\varphi} = \frac{\dot{I}\Delta l \sin \theta}{4\pi r} \left( jk + \frac{1}{r} \right) e^{-jkr} \Bigg\}$$

由式

$$\dot{\mathbf{E}} = \frac{1}{j\omega\epsilon} \nabla \times \dot{\mathbf{H}}$$

➤ 可得

$$\dot{E}_r = -j \frac{\dot{I}\Delta l \cos \theta}{2\pi\omega\epsilon r^2} \left( jk + \frac{1}{r} \right) e^{-jkr}$$

$$\dot{E}_{\theta} = -j \frac{\dot{I}\Delta l \sin \theta}{4\pi\omega\epsilon r} \left( -k^2 + j \frac{k}{r} + \frac{1}{r^2} \right) e^{-jkr}$$

$$\dot{E}_{\varphi} = 0$$



## (2) 讨论

① 若  $kr \ll 1$ ，这是在天线的近区，式中  $e^{-jkr} \approx 1$ ，近区场可以近似为

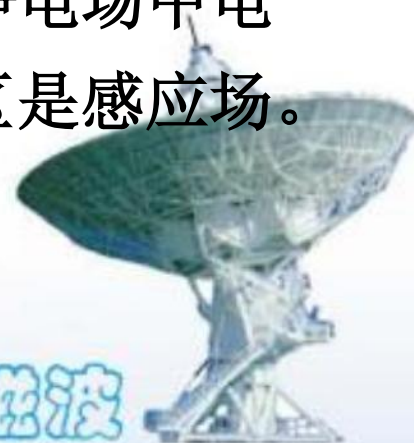
$$\dot{H}_\varphi = \frac{\dot{I} \Delta l}{4\pi r^2} \sin \theta$$

$$\dot{E}_r = \frac{\dot{p} \cos \theta}{2\pi \epsilon r^3}$$

其中  $\dot{I} = j \omega \dot{q}$ ， $\dot{p} = \dot{q} \Delta l$ 。

$$\dot{E}_\theta = \frac{\dot{p} \sin \theta}{4\pi \epsilon r^3}$$

➤ 可以看出与与恒定磁场中电流元产生的磁场、静电场中电偶极子产生的电场的表达式相同，因此天线近区是感应场。



➤ 近区中的平均能流密度矢量

$$S_{av} = \text{Re} \left[ \frac{1}{2} (\dot{\mathbf{E}}_r + \dot{\mathbf{E}}_\theta) \times \dot{\mathbf{H}}_\phi^* \right] = 0$$

➤ 上式表明偶极子天线的近区没有能量的传输，显然是不合理的。实际上在天线的近区是能量交换（电场~磁场）远远大于传输的能量。

② 若  $kr \gg 1$ ，这是在天线的远区，远区场强的表达式

$$\dot{\mathbf{E}}_\theta = j \frac{I \Delta l}{2\lambda r} \cdot \frac{k}{\omega \varepsilon} \sin \theta e^{-jkr}$$

$$\dot{\mathbf{H}}_\phi = j \frac{I \Delta l}{2\lambda r} \sin \theta e^{-jkr}$$

$$\dot{\mathbf{E}}_r = 0$$





➤ 可以看出，在电偶极子天线的远区，电磁场只有  $\dot{E}_\theta$ 、 $\dot{H}_\phi$  两个分量，是横电磁波（TEM波），电偶极子天线远区的场称为辐射场。

➤ 电偶极子天线的远区的波阻抗为

$$\eta = \frac{\dot{E}_\theta}{\dot{H}_\phi} = \frac{k}{\omega\epsilon} = \sqrt{\frac{\mu}{\epsilon}}$$

➤ 天线远区的平均能流密度矢量：

$$\mathbf{S}_{av} = \text{Re} \left( \frac{1}{2} \dot{\mathbf{E}}_\theta \times \dot{\mathbf{H}}_\phi^* \right) = \mathbf{e}_r \eta \left( \frac{I \Delta l}{2\lambda r} \right)^2 \sin^2 \theta$$



### (3) 辐射功率和辐射电阻

- 以偶极子天线为中心作一球面，天线辐射出去的功率 $P$ 等于平均能流密度 $S_{av}$ 沿球面的积分

$$P = \oint\oint_s S_{av} ds = 80\pi^2 \left( \frac{\Delta l}{\lambda} \right)^2 I^2 \quad (W)$$

- 天线辐射的功率可看作被一个等效电阻“吸收”，称为辐射电阻，定义式为

$$R_r = \frac{P}{I^2}$$

- 可得偶极子天线的辐射电阻为

$$R_r = 80\pi^2 \left( \frac{\Delta l}{\lambda} \right)^2 \quad (\Omega)$$

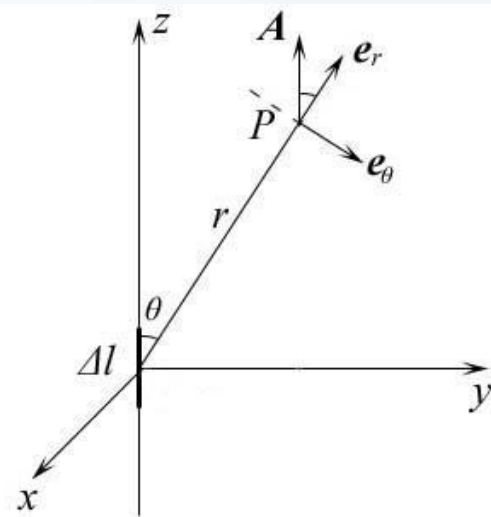


例题8.1：某发射电台辐射功率10KW，用偶极子天线发射，求在天线的垂直平分面上距离天线1km处的 $S_{av}$ 和 $E$ ；在与天线的垂直平分面成何角度时， $S_{av}$ 减小一半？

解：由

$$S_{av} = \eta \left( \frac{I \Delta l}{2 \lambda r} \right)^2 \sin^2 \theta$$

$$P = 80 \pi^2 \left( \frac{\Delta l}{\lambda} \right)^2 I^2$$



其中  $\eta = 120 \pi$ ， $\theta = \pi/2$ ，由以上两式消去  $\left( \frac{I \Delta l}{\lambda} \right)^2$  可得

$$S_{av} = \frac{3P}{8\pi r^2} = 0.1194 \times 10^{-2} \text{ W / m}^2$$



由  $S_{av} = \text{Re}\left(\frac{1}{2}\dot{\mathbf{E}} \times \dot{\mathbf{H}}^*\right)$  ,  $E$ 、 $H$  同频率、同相位, 所以

$$S_{av} = \frac{1}{2}E_m \cdot H_m = E \cdot H = \frac{E^2}{\eta}$$

$$E = \sqrt{S_{av} \cdot \eta} = 0.67 (\text{V} / \text{m})$$

由 (1) 式,  $\sin^2 \theta = \frac{1}{2}$  , 所以

$$\sin \theta = \frac{1}{\sqrt{2}}, \quad \theta = 45^\circ$$



## 8.3 磁偶极子天线的辐射

### 8.3.1 电与磁的对偶性

➤ 只有电荷、电流存在时，产生的 $E_e$ 、 $H_e$ 满足的方程

$$\begin{aligned}\nabla \times \mathbf{H}_e &= \varepsilon \frac{\partial \mathbf{E}_e}{\partial t} + \mathbf{J}_e \\ \nabla \times \mathbf{E}_e &= -\mu \frac{\partial \mathbf{H}_e}{\partial t}\end{aligned}\quad (1)$$

$$\nabla \cdot \mathbf{H}_e = 0$$

$$\nabla \cdot \mathbf{E}_e = \frac{\rho_e}{\varepsilon}$$



- 只有磁荷、磁流存在时，产生的 $E_m$ 、 $H_m$ 满足的方程

$$\begin{aligned}\nabla \times \mathbf{H}_m &= \varepsilon \frac{\partial \mathbf{E}_m}{\partial t} \\ \nabla \times \mathbf{E}_m &= -\mu \frac{\partial \mathbf{H}_m}{\partial t} - \mathbf{J}_m\end{aligned}\quad (2)$$

$$\nabla \cdot \mathbf{H}_m = \frac{\rho_m}{\mu}$$

$$\nabla \cdot \mathbf{E}_m = 0$$

- 只要作如下的代换

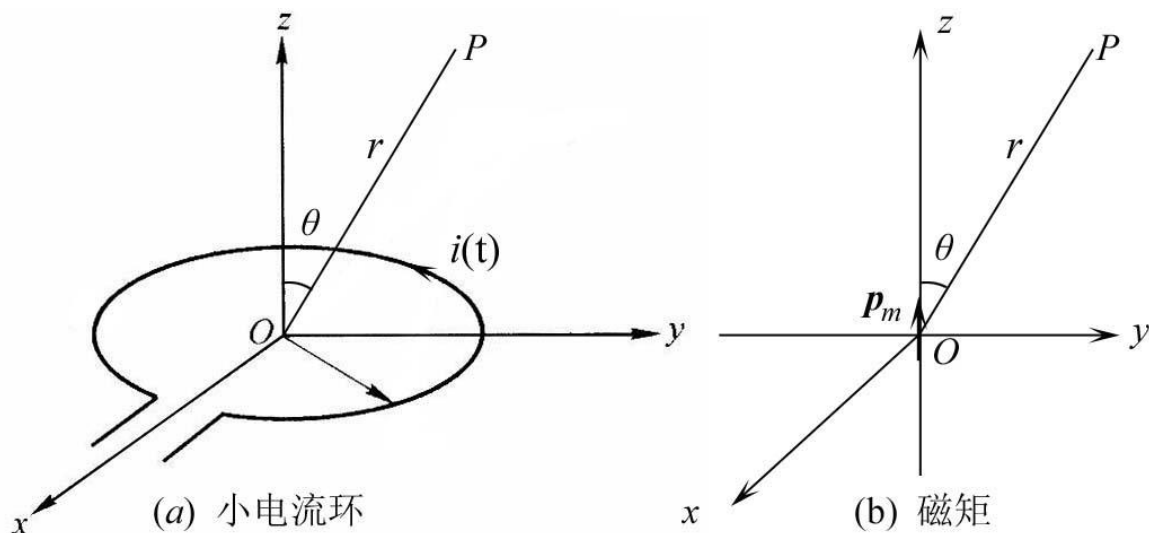
$$\mathbf{E}_e \leftrightarrow \mathbf{H}_m, \mathbf{H}_e \leftrightarrow -\mathbf{E}_m, \mathbf{J}_e \leftrightarrow \mathbf{J}_m, \rho_e \leftrightarrow \rho_m, \varepsilon \leftrightarrow \mu, \mu \leftrightarrow \varepsilon$$

由（1）式和（2）式可以看出电与磁具有对偶性，方程组（1）和方程组（2）的解也具有对偶性。



### 8.3.2 磁偶极子天线的辐射

- 磁偶极子天线的实际模型是一个小电流环，如图所示，它的周长远远小于波长，所以环上的各点的电流  $i$ （包括相位）可以看作是相等的，它的半径远远小于场点P到磁偶极子天线中心的距离。
- 小电流环的磁矩为  $\mathbf{p}_m = \mu I \mathbf{S}$



其中， $\mathbf{S}$ 为环面积矢量，方向与环电流 $I$ 成右手关系。

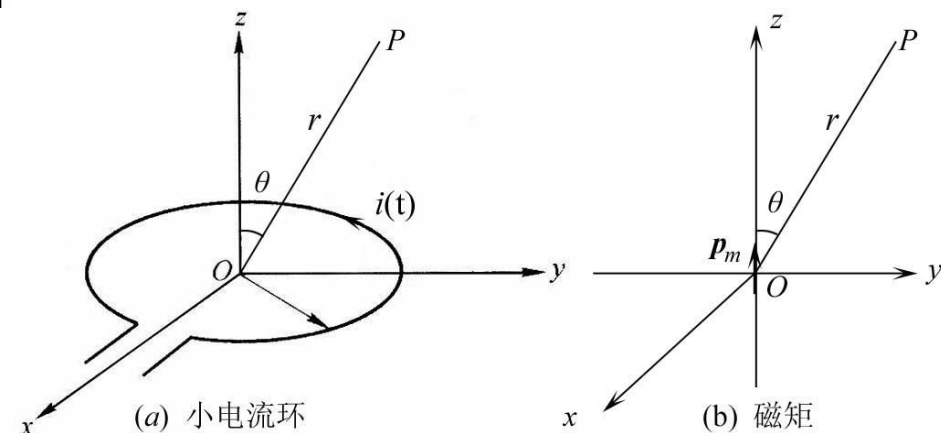


- 若求小电流环远区的辐射场，可以把小电流环看成是一个时变的磁偶极子，由一对磁荷 $\pm q_m$ 组成，它们之间的距离是 $l$ ，磁荷之间有假想的磁流 $I_m$ ，可以推出

$$I_m = j \frac{\omega \mu S}{l} I$$

- 利用电与磁的对偶关系，可得磁偶极子天线的远区场

$$E_\varphi = \frac{\omega \mu S \dot{I}}{2\lambda r} \sin \theta e^{-jkr} \quad H_\theta = -\frac{\omega \mu S \dot{I}}{2\lambda r} \sqrt{\frac{\varepsilon}{\mu}} \sin \theta e^{-jkr}$$





➤ 平均能流密度矢量为

$$\mathbf{S}_{av} = \frac{1}{2} \text{Re}[\mathbf{E} \times \mathbf{H}^*] = \mathbf{e}_r \frac{1}{2} \eta \left( \frac{\pi I_m S}{\lambda^2 r} \right)^2 \sin^2 \theta$$

➤ 辐射功率是

$$P_r = \oiint_S \mathbf{S}_{av} \cdot d\mathbf{S} = \frac{4\pi}{3} \eta \left( \frac{\pi I_m S}{\lambda^2} \right)^2 \quad \text{W}$$

➤ 辐射电阻是

$$R_r = \frac{2P_r}{I_m^2} = \frac{8\pi^3}{3} \eta \left( \frac{S}{\lambda^2} \right)^2 \quad \Omega$$



## 8.4 天线的辐射特性和基本参数

### 1. 辐射方向性

- 天线的辐射方向性可以用方向图函数定量地描述，方向图函数定义为

$$f(\theta, \varphi) = \frac{|E(\theta, \varphi)|}{|E_{\max}|}$$

其中  $E(\theta, \varphi)$  是任意方向的辐射场强， $E_{\max}$  是相同距离处最大辐射方向的场强。

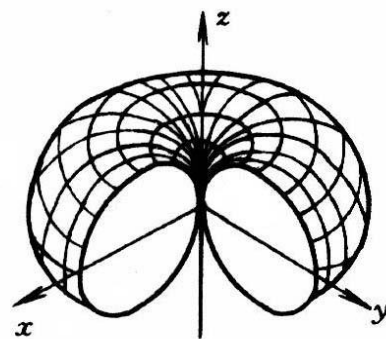
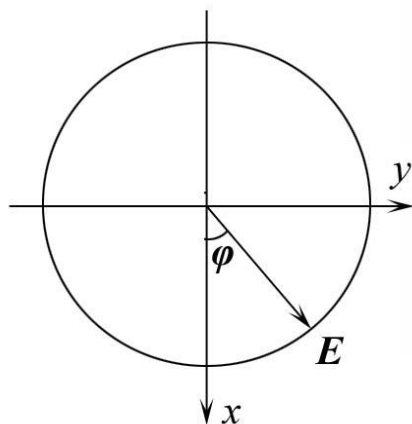
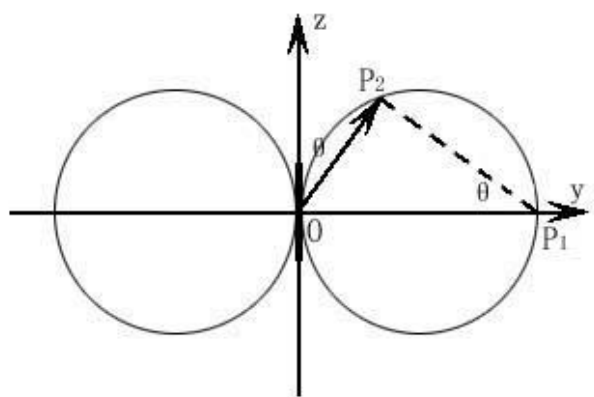
- 电偶极子天线的方向函数：

$$f(\theta) = \sin\theta$$

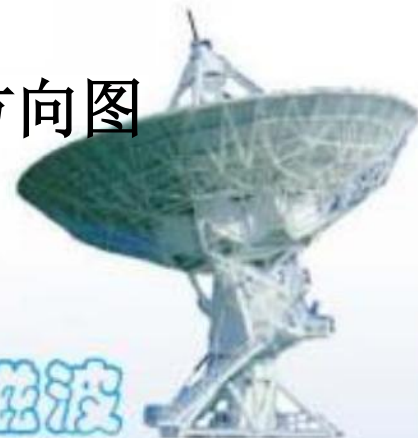


- 功率方向图函数 $F_P(\theta, \varphi)$ ，与场强方向图函数 $f^2(\theta, \varphi)$ 的关系为
- $$F_P(\theta, \varphi) = f^2(\theta, \varphi)$$

- 按方向图函数 $f(\theta, \varphi)$ 绘出的图形称为方向图。
- 偶极子天线的方向图如图所示。

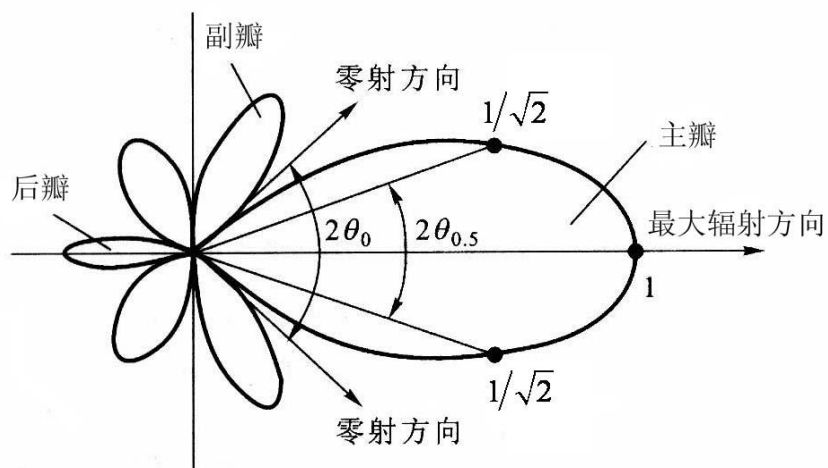


(a) 侧视图 (E面)    (b) 俯视图 (H面)    (c) 三维方向图



## 2. 方向图参数

- 实际天线的方向图通常有多个波瓣，分别称为主瓣、副瓣和后瓣，如图所示。
- 主瓣是指包含最大辐射方向的波瓣，除主瓣外的其余波瓣统称为副瓣，把位于主瓣正后方的波瓣称为后瓣。
- 用来描述方向图特性的参数通常有主瓣宽度、旁瓣电平、前后比等。



# (1) 主瓣宽度:

主瓣宽度可用零功率点波瓣宽度和半功率点波瓣宽度描述。

零功率波瓣宽度  $2\theta_0$ 、 $2\phi_0$  (下标 $E$ 、 $H$ 分别表示 $E$ 、 $H$ 面)

是指主瓣最大值两边两个零辐射方向之间的夹角。

半功率波瓣宽度  $2\theta_{0.5}$ 、 $2\phi_{0.5}$  是指主瓣最大值两边功率密度

下降到最大功率密度的一半 (或场强下降到最大值的

倍) 的两辐射方向之间的夹角, 也称3分贝波瓣宽度。

主瓣宽度愈小, 说明天线辐射的电磁能量越集中, 方向性越好。



## (2) 副瓣电平:

- 副瓣最大辐射方向上的功率密度  $S_{1\max}$  与主瓣最大辐射方向上的功率密度  $S_{0\max}$  之比的对数值, 称为副瓣电平

$$SLL = 10\lg\left(\frac{S_{1\max}}{S_{0\max}}\right) = 20\lg\left(\frac{E_{1\max}}{E_{0\max}}\right) \quad dB$$

## (3) 前后比:

- 主瓣最大辐射方向上的功率密度  $S_{0\max}$  与后瓣最大辐射方向上的功率密度  $S_{b\max}$  之比的对数值, 称为前后比

$$FB = 10\lg\left(\frac{S_{0\max}}{S_{b\max}}\right) = 20\lg\left(\frac{E_{0\max}}{E_{b\max}}\right) \quad dB$$

作为定向天线, 前后比愈大愈好。



### 3. 方向系数D

➤ 方向系数定义为：天线在最大辐射方向上的辐射功率密度 $S_{\max}$ 和辐射功率相同的无方向性天线在相同距离处的辐射功率密度 $S_0$ 之比，即

$$D = \frac{S_{\max}}{S_0} \Big|_{P_R = P_{R0}}$$

➤ 方向系数描述了天线辐射能量集中的程度，可以推出方向系数的计算公式为

$$D = \frac{4\pi}{\int_0^{2\pi} \int_0^{\pi} f^2(\theta, \varphi) \sin \theta d\theta d\varphi}$$





## 4. 天线的增益

### ➤ 天线的增益为

$$G = \eta D$$

$$G(\text{dB}) = 10 \lg G$$

所以增益 $G$ 不仅表示了天线辐射能量集中的程度，也包含了天线的损耗。

## 5. 输入阻抗

### ➤ 天线与传输线的连接处称为天线的输入端，天线的输入阻抗 $Z_{in}$ 定义为天线输入端的电压与电流之比

$$Z_{in} = \frac{U_{in}}{I_{in}} = R_{in} + jX_{in}$$





## 6. 有效长度 $l_e$

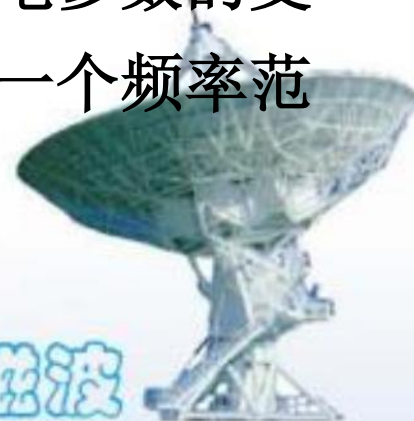
- 一个线天线，可用一个电流沿线均匀分布，其电流等于输入点电流 $I_A$ （或波腹点电流 $I_m$ ）的假想天线来等效，如果两天线在最大辐射方向上辐射场强相同，则假想天线的长度就称为实际天线的有效长度。计算公式为

$$l_e = \frac{1}{I_m} \int_0^l I(z) dz$$

其中 $l$ 是天线的真实长度。

## 7. 天线的带宽

- 当工作频率偏离设计的中心频率时，将会引起天线电参数的变化，例如方向图畸变、增益降低等。天线的带宽是一个频率范围，在这一范围内频率变化时，天线的各种参数不超出允许的变化范围。



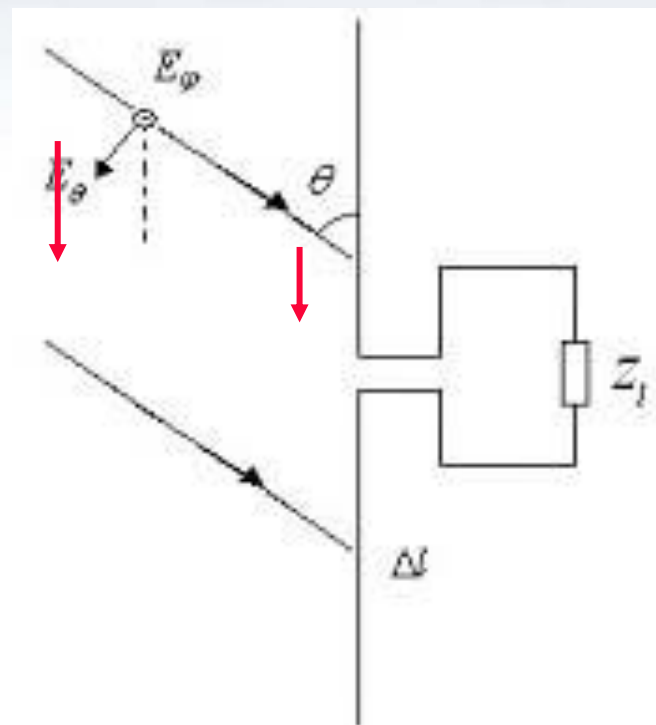
## 8. 5 接收天线

### 1. 电磁波的接收

- 天线用作接收，作用与发射相反，是把空间电磁波的能量转换为天线上振荡电流的能量，通过馈线传输到接收机。
- 一般线天线上的感应电动势可以写为

$$e = E_{\theta} l_e f(\theta, \varphi)$$

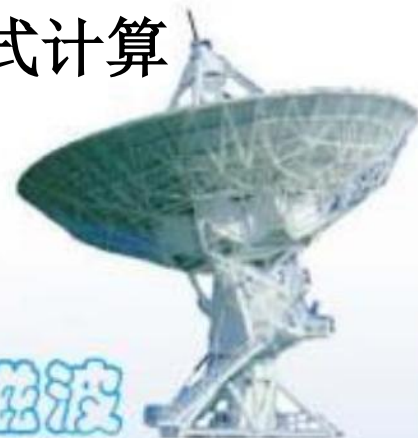
其中 $l_e$ 是天线的有效长度。



## 2. 接收天线的电参数

- 同一付天线，用作发射天线或接收天线时，电参数是相同的，只是含义不同。例如对于发射天线， $f(\theta, \varphi)$ 和方向图表示天线在不同方向上，相同距离处辐射场的相对大小；对于接收天线， $f(\theta, \varphi)$ 和方向图表示天线对来自不同方向，场强相同的电磁波接收能力的相对大小。
- 有效接收面积：设天线的最大接收方向对准来波方向，天线与负载匹配且无损耗，天线的接收功率为 $P_r$ ，设想此功率等于穿过与来波方向垂直的面积 $A_e$ 的辐射功率（ $P_r = S_{av} \cdot A_e$ ），则 $A_e$ 称为天线的有效接收面积，可以用下式计算

$$A_e = \frac{\lambda^2}{4\pi} D$$



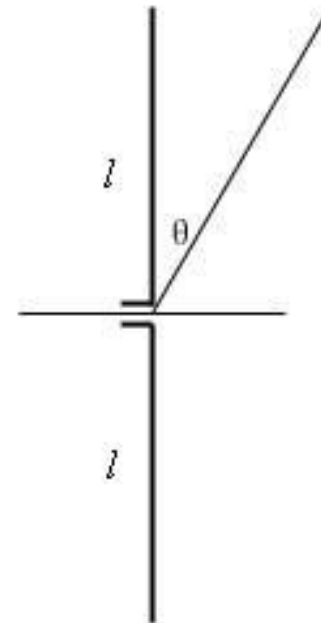
## 8.6 常用的线天线

### 1. 对称振子天线

- 对称振子天线的结构如图所示，归一化场强的方向图函数为

$$f(\theta) = \frac{\cos(\beta l \cos \theta) - \cos \beta l}{f_{\max} \cdot \sin \theta}$$

其中  $f_{\max}$  是  $\frac{\cos(\beta l \cos \theta) - \cos \beta l}{\sin \theta}$  的最大值。



➤ 对称振子天线的方向图如图所示。

➤ 对于半波对称天线  $2l=0.5\lambda$ ，方向函数为

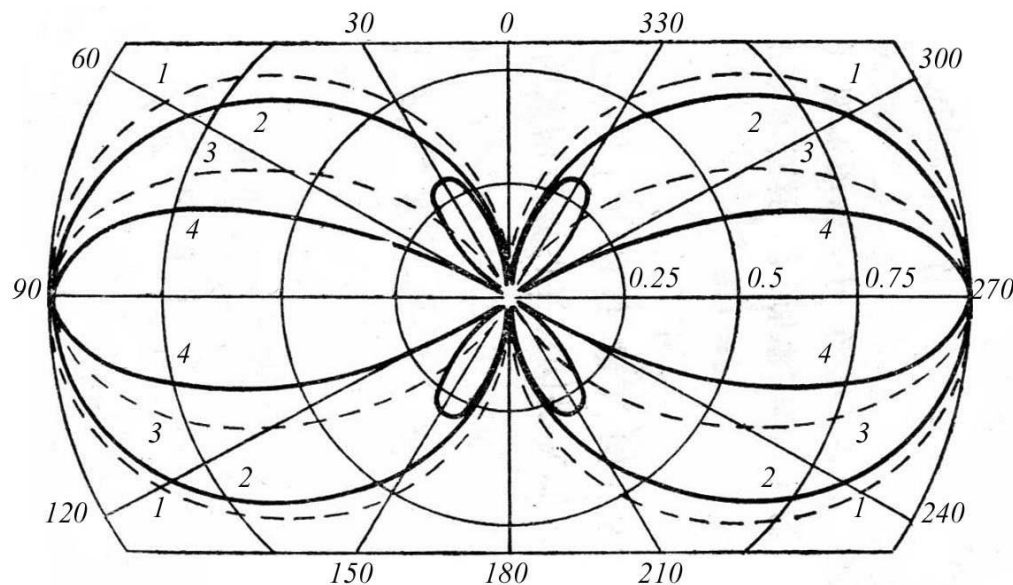
$$f(\theta) = \frac{\cos\left(\frac{\pi}{2}\cos\theta\right)}{\sin\theta}$$

➤ 半波对称振子上电流的分布

$$i(z) = I_m \sin\left(2\pi \frac{z}{\lambda}\right)$$

➤ 有效长度为

$$l_e = \frac{1}{I_m} \int_0^l I_m \sin\left(2\pi \frac{z}{\lambda}\right) dz = \frac{\lambda}{\pi} \bigg|_{l=\frac{\lambda}{2}} = 0.64l$$





## 2. 对数周期天线 (LPD天线)

- 对数周期天线是一种宽频带天线（例如200MHz~1GHz），由一组对称振子组成，如图1所示。
- 天线的内部接线及馈电方式如图2所示，图中0点称为顶点， $2\alpha$ 为各振子相对于顶点的张角， $d_n$ 是第 $n$ 个振子的臂长，是第 $n$ 个振子到顶点的距离， $R_n$ 是第 $n$ 个振子和第 $n+1$ 个振子的间距。



图1 对数周期天线

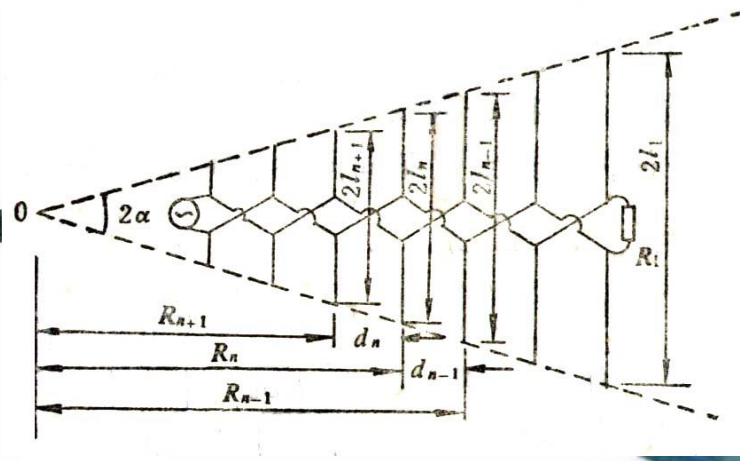
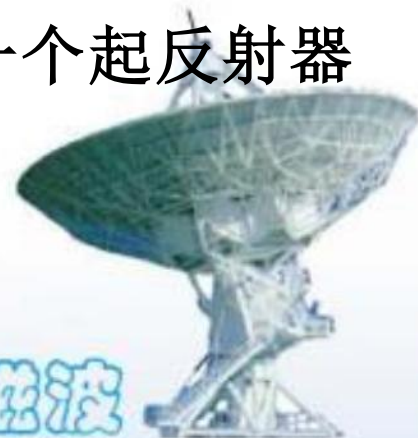


图2 LPD天线的内部接线及馈电方式

- 对数周期天线的结构满足下列关系式:

$$\tau = \frac{l_n}{l_{n-1}} = \frac{R_n}{R_{n-1}} = \frac{d_n}{d_{n-1}} < 1$$

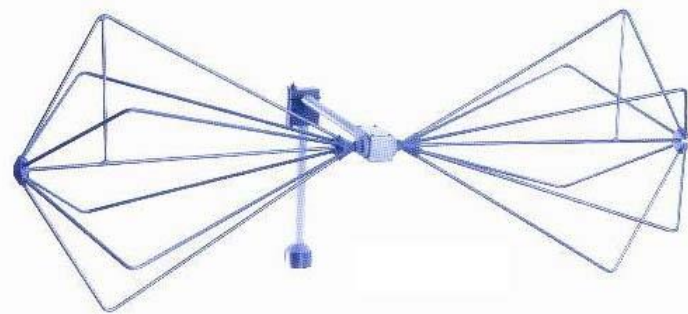
- 理论分析表明: 当工作频率从  $f$  变到  $\tau f$ 、 $\tau^2 f$ 、 $\tau^3 f$ .....时, LPD天线的电特性完全相同, 而在  $f \sim \tau f$ 、 $\tau f \sim \tau^2 f$ .....等频率间隔内, LPD天线的电特性随频率的对数作周期性变化。如果  $\tau$  接近于1, 在  $f \sim \tau f$ 、 $\tau f \sim \tau^2 f$ .....等频率间隔内, LPD天线的电特性变化也不大, 因此具有超宽频带特性。
- 振子谐振频率上该振子的辐射能力最强。与这个振子相邻的前、后两个振子, 一个起引向器作用, 另一个起反射器作用, 构成一个“有效辐射区”。



- 最大辐射（或接收）方向指向短振子方向。
- 频率升高时，有效工作区向短振子方向移动；频率降低时，有效工作区向长振子方向移动。
- 无论有效工作区怎样移动，所形成的每一组引向天线的电尺寸不变，因此LPD天线的电特性与频率无关。
- LPD天线的工作频率范围由最长的和最短的振子的臂长决定

### 3. 双锥天线

- 双锥天线是一种宽频带天线，是由对称振子天线演变来的，如图所示。双锥天线工作的频率范围一般是30MHz~300MHz。

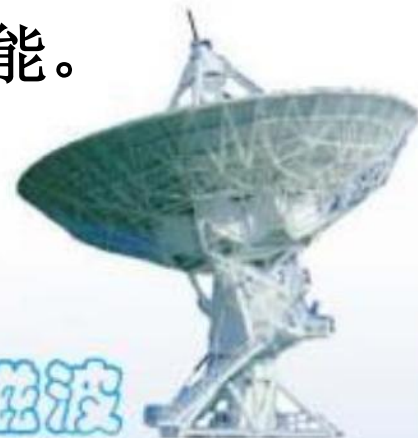




## 8.7 天线阵

### 8.7.1 二元直线阵与方向图乘积定理

- 为了增强方向性或得到所需要的方向性，将若干个单元天线按一定方式排列起来构成的辐射系统称为天线阵。
- 构成天线阵的单元天线称为阵元，可以是任何形式的天线。
- 按阵元排列的方式，可以分为直线阵、平面阵、立体阵等。
- 现代智能天线就是利用天线阵在某些方向上形成较强的辐射，在某些方向上形成零陷，具有抗干扰性能。

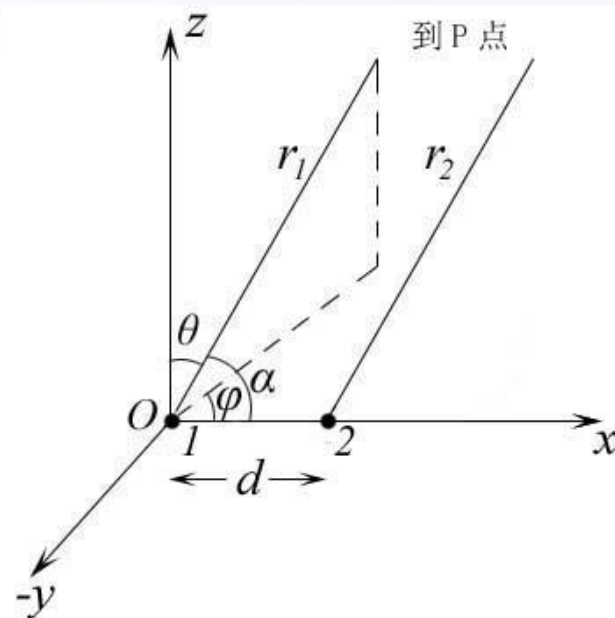


- 设二元阵由放置在 $x$ 轴上、两个完全相同的阵元组成，间距为 $d$ ，到观察点的距离分别为 $r_1$ 、 $r_2$ 。两阵元电流关系为 $I_2 = I_1 e^{j\xi}$ ，如图所示。

- 两阵元的辐射场分别为

$$E_1 = E_m f(\theta, \varphi) \frac{e^{-jkr_1}}{r_1}$$

$$E_2 = E_m f(\theta, \varphi) \frac{e^{-jkr_2} \cdot e^{j\xi}}{r_2}$$



- 在天线的远区， $r_1$ 、 $r_2$ 近似平行，在计算合场强的幅值时，取 $r_2 = r_1$ ；计算合场强的相位时，取

$$r_2 = r_1 - d \cos \alpha$$



➤ 观察点的合场强为

$$E = E_m f(\theta, \varphi) \frac{e^{-jkr_1}}{r_1} (1 + e^{j\psi})$$

其中  $\psi = \xi + kd \cos \alpha$ 。

➤ 二元阵的方向图函数为

$$F(\theta, \varphi) = f(\theta, \varphi) \cdot |1 + e^{j\psi}| = f(\theta, \varphi) \cdot f_n(\theta, \varphi)$$

其中  $f_n(\theta, \varphi) = |1 + e^{j\psi}|$ 。归一化后

$$f_n(\theta, \varphi) = \cos \frac{\psi}{2}$$

➤ 二元阵的方向图函数等于单元天线的方向图函数（元因子）与阵因子的乘积，这就是方向图乘积定理。方向图乘积定理也适用于多元相似阵。



下面讨论几种有代表性的情况：

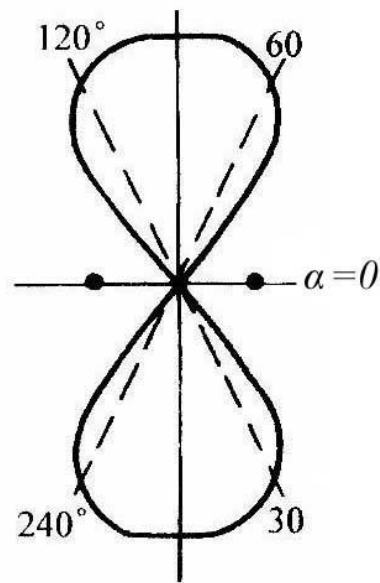
(1) 设两阵元电流的相位相同 ( $\xi=0$ )，阵元间距 $d=\lambda/2$ 。

➤ 阵因子为

$$f_n(\theta, \varphi) = \cos\left(\frac{\pi}{2} \cos \alpha\right)$$

➤ 绘出的阵因子方向图如图所示。

➤ 可以看出，阵因子方向图是“8”字形，沿天线阵的轴线方向上没有辐射，在垂直于轴线的方向上辐射最强，这种天线阵称为边射式天线阵。



(2) 设两阵元电流的相位差 $\xi=\pi/2$ ，阵元间距 $d=\lambda/4$ 。

➤ 阵因子

$$f_a(\theta, \varphi) = \cos\left(\frac{\pi}{4} \cos \alpha + \frac{\pi}{4}\right)$$

➤ 绘出的阵因子方向图如图 (a) 所示。

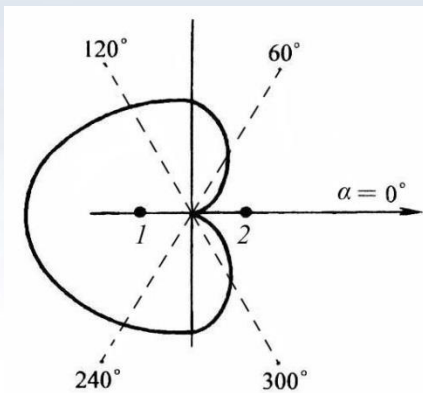
(3) 设两阵元电流的相位差 $\xi=-\pi/2$ ，阵元间距 $d=\lambda/4$ 。

➤ 阵因子

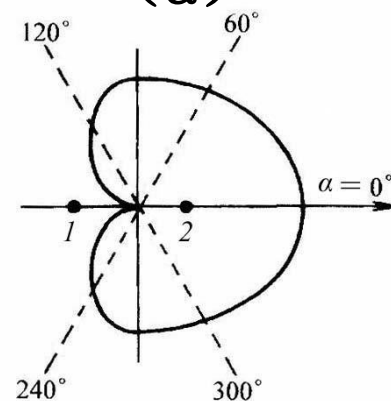
$$f_a(\theta, \varphi) = \cos\left(\frac{\pi}{4} \cos \alpha - \frac{\pi}{4}\right)$$

绘出的阵因子方向图如图 (b) 所示。

➤ 由图看出，最大辐射方向指向相位超前的阵元方向。这种最大辐射方向沿阵轴线方向的天线阵称为端射式天线阵。



(a)



(b)



## 8.7.2 均匀直线阵

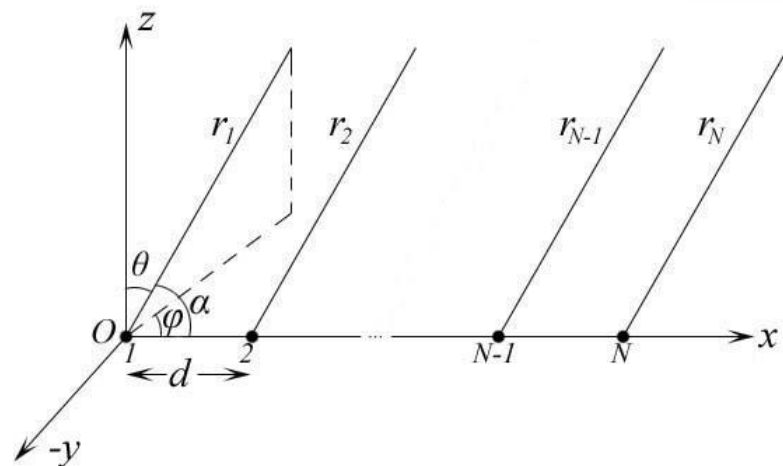
- 由N个相同的阵元天线取向相同、间距相同地排列在一条直线上组成直线阵。均匀直线阵是指各阵元天线上激励电流幅值相等、相位沿直线均匀递增或递减，如图所示。

- 第n个阵元天线的电流为

$$I_n = Ie^{j(n-1)\xi} \quad (n = 1, 2, 3 \cdots N)$$

- 观察点的合场强等于N个阵元辐射场的叠加，与讨论二元阵的方法类似可得归一化阵因子为：

$$f_N(\psi) = \frac{1}{N} \frac{\sin \frac{N\psi}{2}}{\sin \frac{\psi}{2}}$$

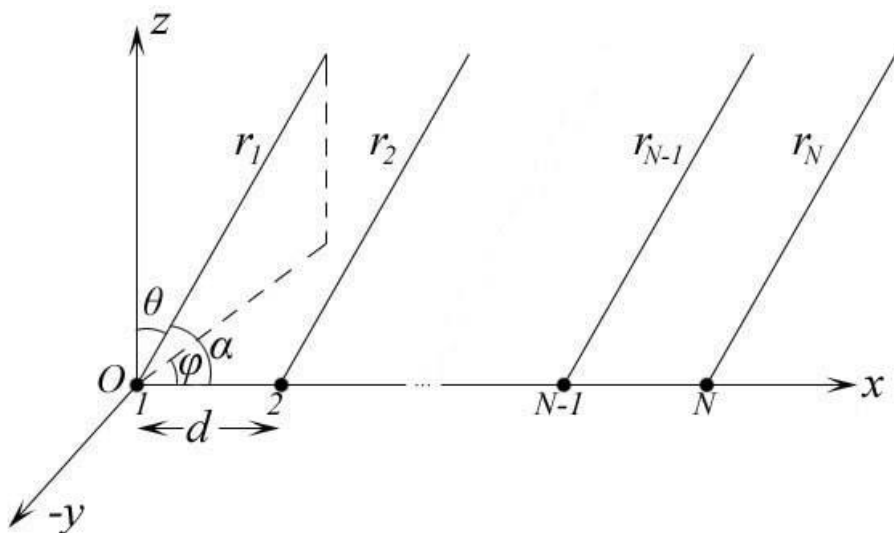




**例题** 10个电偶极子天线构成一均匀直线阵，如图所示。各振元的馈电电流大小相等，相位递增值为 $\pi/2$ ，阵元间距为 $\lambda/4$ 。绘出在 $H$ 平面和 $E$ 平面上的方向图。

**解：** 已知 $N=10$ ， $\xi=\pi/2$ ， $d=\lambda/4$ ，直线阵的综合方向图函数为

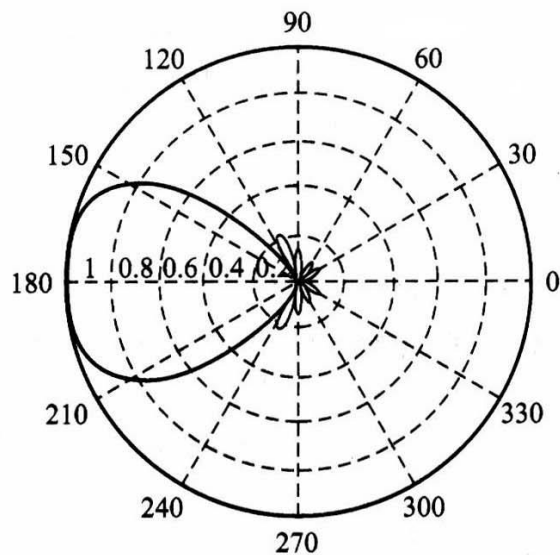
$$F(\theta, \varphi) = f(\theta, \varphi) f_N(\psi) = \sin \theta \left| \frac{1}{10} \frac{\sin 5\psi}{\sin \frac{\psi}{2}} \right|$$



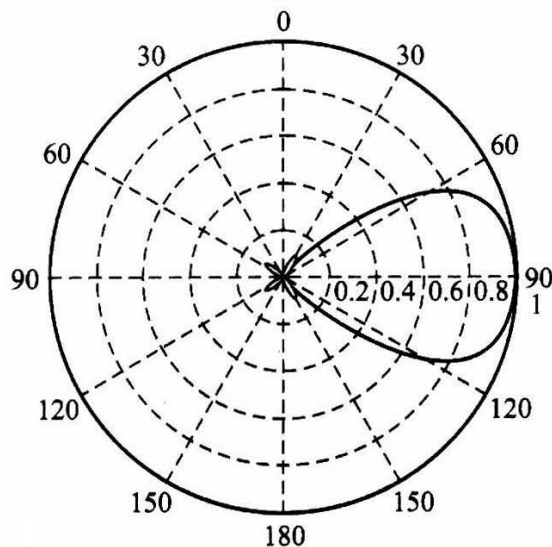
其中  $\psi = \frac{\pi}{2} + \frac{\pi}{2} \sin \theta \cos \varphi$  。在  $H$  平面内,  $\theta = \pi/2$  ,

$$F\left(\frac{\pi}{2}, \varphi\right) = \left| \frac{1}{10} \frac{\sin\left(\frac{5\pi}{2} + \frac{5\pi}{2} \cos \varphi\right)}{\sin\left(\frac{\pi}{4} + \frac{\pi}{4} \cos \varphi\right)} \right|$$

，在  $H$  平面内的方向图如图 (a) 所示。



(a)  $H$  面方向图



(b)  $E$  面方向图





在 $E$ 平面内,  $\varphi = \pi$  ,

$$F(\theta, \pi) = \left| \sin \theta \cdot \frac{1}{10} \frac{\sin\left(\frac{5\pi}{2} - \frac{5\pi}{2} \sin \theta\right)}{\sin\left(\frac{\pi}{4} - \frac{\pi}{4} \sin \theta\right)} \right|$$

, 在 $E$ 平面内的方向图如图 (b) 所示。

